

## 고순도 · 미립 $TiO_2$ 분말 제조에 관한 연구 - 고순도화 연구(I) -

이미재 · 지미정 · 김 환\* · 이철태\*\* · 최병현  
요업기술원, 서울대학교 재료공학부\*, 단국대학교 화학공학과\*\*  
(2000년 1월 28일 접수)

## Studies on Preparation of $TiO_2$ Powder with High Purity and Fine Particle - A Study of High Purifying (I) -

Mi-Jai Lee, Mi-Jung Jee, \*Hwan Kim, \*\*Chul-Tae Lee and Byung-Hyun Choi

Korea Institute of Ceramic Engineering and Technology, Seoul, 153-023, Korea

\*Division of Materials Engineering, Seoul National University, Seoul, 151-742, Korea

\*\*Department of Chemical Engineering, Dan Kuk University, Seoul, 140-714, Korea

(Received January 28, 2000)

### 초 록

고기능성 전자재료용  $TiO_2$  분말 및 박막제조에 사용되는 중간생성물인  $TiCl_4$ 는 99% 이상의 고순도가 요구된다. 고순도 · 미립의  $TiO_2$  분말 및  $TiCl_4$ 는 황산법으로 제조한 저순도  $TiO_2$  원료를 사용하여 염소화법으로  $Ti$ -염화물 및 염화불순물로 제조한 후, 대부분의 염화불순물들은 3단계 과정을 거쳐 고순화하였다. 대부분의 염화불순물은 분리 · 용축 및 분별증류로,  $VOCl_3$ 는 mineral oil을 첨가하여 비등점을 변화시켜, 그리고 미량의 염화불순물은 열가수분해하여 침전시킨 후 유기용제 처리하여 제거하였다. 유기용제 처리는  $TiO_2$  분말의 고순도화에 도움이 되었으며, 입자간의 응집을 적게 하여  $TiO_2$  입자크기도 작아졌다. 또한 anatase에서 rutile 결정구조로의 전이온도도 낮아지는 부수적인 효과를 보였다.

### ABSTRACT

To purify low-grade  $TiO_2$  powders prepared by sulfonic acid method,  $TiO_2$  powders were, first, transformed into Ti-chlorides and impurity metal chlorides using chloride gas. Impurity metal chlorides were then removed by separation, condensation and fractional distillation and then remaining  $VOCl_3$  could be eliminated by changing the boiling point of  $VOCl_3$  by the addition of mineral oil. The remaining impurity metal chlorides were finally removed through successive reactions, i.e. impurity metal chlorides were precipitated by thermal hydrolysis and then reacted with a organic solvent. As the treatment by the organic solvents reduced agglomeration between the particles, the particle size and the phase transition temperature to be transformed into rutile, the obtained  $TiO_2$  powders, were reduced and lowered, respectively.

**Key words :**  $TiO_2$  powder, Boiling point, Distillation,  $TiCl_4$ , Organic solvent, High purifying, Impurity metal chlorides

### 1. 서 론

티타니아( $TiO_2$ )는 전도특성 뿐만 아니라 광산란 글질 특성이 우수하여 유전재료, 압전 재료, 센서재료, 광촉매 재료 및 도료에 널리 이용되고 있는데 고기능성을 갖는 전자세라믹스용 원료로 이용되기 위해서는 순도가 99% 이상이어야 한다.<sup>1)</sup>

$TiO_2$  제조법은 황산법과 염소법이 있다. 황산법은 ilmenite나 함티탄자철광 원광을 황화물로 만든 후, 블로 세척하거나, ammonium titanyl sulfate를 생성시킨 후 염산으로 채결정화하여 세정함으로서 Fe, Mn 등 일부 불순물의 제거가 가능하나 99% 이상의 순도를 갖는  $TiO_2$  제조는 매우 어렵다.<sup>2)</sup> 그러나 염소법의 경우 순도가 95% 이상인 천연산

rutile이나 합성 rutile을 사용하여 99% 이상의 고순도  $TiO_2$ 를 제조할 수 있다. 천연 rutile(금홍석, 96% 이상  $TiO_2$ )의 경우 rutile 광의 점진적인 고갈과 편재로 인한 수급 불균형은 광의 가격을 크게 상승하게 함으로써, 천연 rutile을 황산법으로 제조한 저순도  $TiO_2$ 로 대체하려는 노력이 세계적인 추세로 많은 연구가 진행되고 있다.<sup>3,4)</sup>

한편 천연 rutile을 이용하여 염소법으로 고순도  $TiO_2$ 를 제조하는 공정 중에 불순물의 분리 추출방법에 대해서는 연구결과가 잘 알려져 있다. 그러나 천연 rutile과 불순물 성분이 다른 ilmenite나 함티탄 자철광을 원료로 황산법에 의해 제조된 저순도  $TiO_2$ 를 출발원료로  $TiCl_4$ 의 제조를 위한 염소화공정이나 고순도  $TiCl_4$ 로부터 고순도 · 미립  $TiO_2$  또는 Ti-alkoxide를 제조하여 고기능성 박막 등에 응용하고자 하

는 공정등에 대해서는 많은 연구가 진행되어 있지 않다.<sup>5-10)</sup>

따라서 본 연구에서는 반도체, 센서 및 광촉매용 고순도·미립  $TiO_2$  분말이나 nanocomposite  $TiO_2$  박막을 제조 할 수 있는 고순도  $TiCl_4$ 와 Ti-alkoxide를 제조하고자, “고순도 화연구 (I)”에서는 염소법으로 저순도  $TiO_2$ 를 Cl 가스에 반응시켜  $TiCl_4$ 를 제조하고, 제조된  $TiCl_4$ 에 함유된 불순물이나 쪼꺼기(dust)를 분별증류하여 제거한 후 제거되지 않은 불순물을 수화물로 침전시킨 후 유기용제 처리하여 고순도·미립  $TiO_2$  분말을 제조하고, 제 (II) 및 (III)에서는 고순도  $TiCl_4$ 로부터  $TiO_2$  분말의 미립화하는 방법과 고순도  $TiCl_4$ 로부터 Ti-alkoxide로의 합성방법 및 기구에 대하여 검토하였다.

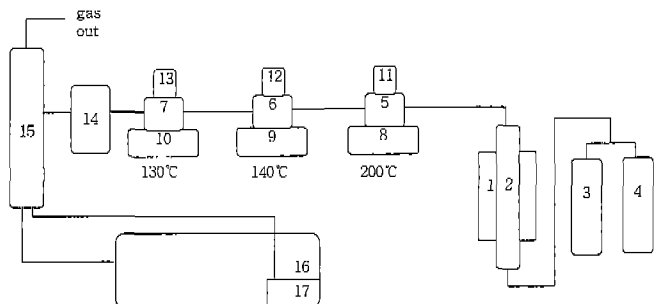
## 2. 실험

### 2.1. $TiCl_4$ 제조

고기능성을 갖는 고순도·미립  $TiO_2$  분말이나 nanocomposite 박막을 제조하기 위해서는 고상보다 액상으로 처리하는 것이 단순하고 경제적이므로 본 연구에서는 Ti와 불순물을 염화물 상태로 제조하였다.  $TiCl_4$ 의 제조는 Table 1에 나타낸 바와 같이 황산법으로 제조된 저순도  $TiO_2$ 를 출발 원료로 하여 염소화법으로 제조하였다. 그 제조과정은 Fig. 1의 장치를 사용하였다. 먼저  $TiO_2$ 와 환원제인 carbon black 을 1:2.1(mole)로 혼합한 후 시료를 Fig. 1의 1 전기로 내에 900°C가 유지된 quartz 반응기(Fig. 1의 2)에 넣고  $Cl_2$  가스(Fig. 1의 3)를 분당 300 cc로 투입하였다. 이때 반응장치 내의 수분, 불순물 및 분위기를 제어하기 위하여  $Cl_2$  가스 투입 전에 30분간 질소가스를 통과시켰다.

### 2.2. $TiCl_4$ 의 고순도화

염화물의 정제는 Fig. 1의 5에서 7까지와 같이 200°C, 140°C 및 130°C의 세단계로 heating box를 설치하여, 불순물들의 비등점 차이를 이용하여 염화물을 분리·용축하였



1. Furnace  
2. Reactor  
3, 4.  $Cl_2$ ,  $N_2$  gas bombc  
5, 6, 7. Fractional distillation port  
8, 9, 10. Hot plate  
11, 12, 13. Condenser  
14.  $TiCl_4$  port  
15. Purification tower  
16. NaOH aqueous solution  
17. Motor pump

Fig. 1. The outline of  $TiCl_4$  preparation and fractional distillation instrument.

다. 그러나  $TiCl_4$ 와 비등점이 비슷한  $VOCl_3$ 는 분리가 용이하지 않아 광물유(mineral oil)를 첨가 혼합하여 110°C에서 12시간 반응시켜 제거하였다.<sup>11)</sup>

### 2.3. $TiO_2$ 의 고순도화

정제 처리된  $TiCl_4$ 를 고순도  $TiO_2$  분말로 제조하는 방법에는 액체  $TiCl_4$ 를 기화시킨 후 산소와 반응시키는 방법과  $TiCl_4$ 를 가수분해하여 침전한 후 여과 세척하는 두가지 방법이 있다. 가수분해하여 침전처리하는 방법은 저온처리법과 고온처리법이 있다. 저온처리법은 저온에서 용액을 회석하므로 Cl 이온의 제거가 복잡하고 미립화를 위해 냉동건조를 행해야하므로 본 연구에서는 용액처리가 쉽고 간단히 미립화 할수 있는 방법인 고온 열가수분해법을 선택하였다. 즉  $TiCl_4$ 를 가수분해하여 침전시킨 후, 유기용매로 처리하여

Table 1. Component Analysis Result after Fractional Distillation, Mineral Oil and Treatment of Organic Solvent by ICP

Designation Chemical comp.(w/o)	Raw materials	Before fractional distillation	After fractional distillation	Treatment of mineral oil	Solvent treatment			
					Et-OH	Me-OH	Aceton	Iso-prOH
$TiO_2$	97.0	78.08	97.18	97.75	99.1	99.3	99.3	99.3
Impurity	$SiO_2$	1.06	19.06	0.45	0.43	0.02	0.005	0.008
	$K_2O$	0.18	0.23	0.04	0.04	0.08	0.04	0.05
	$V_2O_5$	0.54	0.768	0.78	0.30	0.04	0.06	0.003
	$Al_2O_3$	0.22	0.279	0.13	0.12	0.15	0.12	0.10
	$Na_2O$	-	1.40	1.41	1.36	0.51	0.39	0.47
	Others	1.0	0.183	0.01	-	0.1	0.085	0.039
	계	2.00	21.92	2.82	2.25	0.9	0.7	0.7

TiO<sub>2</sub>를 고순도화 시켰다. TiO<sub>2</sub>의 고순도화는 먼저 TiCl<sub>4</sub>(농도 ~0.2 mole/l)에 물과 알콜(1-propanol/H<sub>2</sub>O 비=2)등을 첨가하여, 70°C에서 열가수분해한 후 4N-NH<sub>4</sub>OH를 첨가하여 Ti-수화물을 침전시켰다. 이때 Ti-수화물은 DT-TG 열분석 결과 대부분이 Ti(OH)<sub>4</sub>였다. 다음 공정으로 생성된 수화물에 에탄올, 메탄올, 아세톤 및 이소프로판을 등의 유기용제를 첨가하여 충분히 교반한 후 여과하였다. 이때 유기용제와 Ti(OH)<sub>4</sub> 등의 수화물과의 혼합은 부피 비로 1:1로 하여 행하였다.

#### 2.4. 평가방법

합성된 TiO<sub>2</sub> 분말에 대해서는 결정상, 순도 및 입자크기를 평가하였다. 결정상은 X-선회절분석기(FR590, Enraf Nonius사제, Netherland)로, 성분분석은 ICP(Optima 3300DV, Perkin-Elmer사제, USA)와 XPF (3270S, Rigaku사제, Japan)로, 입자크기 분석은 주사전자현미경(DS-103S, Akashi사제, Japan)으로 평가하였다.

### 3. 결과 및 고찰

#### 3.1. 염화물 반응

TiO<sub>2</sub>에 포함되어 있는 불순물을 제거하기 위해서는 대부분 염화물, 황화물, 수화물 상태로 중간생성물을 생성시켜 처리하게 되는데, 본 연구에서는 고순도 TiO<sub>2</sub> 분말을 제조하고자 TiO<sub>2</sub>와 염소가스를 사용하여 염소화반응으로 Ti-염화물 및 염화불순물을 생성시켰다. 생성된 Ti-염화물등의 색은 black-yellow였는데, 순수 Ti-염화물이 무색 투명한 것으로 보아 불순물이 많은 상태임을 알 수 있었다.

한편 염소화 반응후 찌꺼기가 반응기내(Fig. 1의2)에 있었다. 이는 끓는점(boiling point)이 1400°C 이상인 미량의 CaO나 MgO가 염화물로 염소화되지 못한 것으로 생각된다.

#### 3.2. 고순도화

염소화 반응, 고온분리·응축 및 저온분별증류, 광물유 처리, 유기용제처리한 다음 각 단계별로 TiO<sub>2</sub>의 순도 변화를 알아내기 위하여 각각 단계별로 시료를 채취하여 600°C에서 3시간 하소처리한 후 산화물을 분석한 후 그 결과를 Table 1에 나타내었다.

염소화 반응 후 TiO<sub>2</sub>는 약 78%, 불순물은 SiO<sub>2</sub>와 Na<sub>2</sub>O가 대부분으로 약 21%였다. SiO<sub>2</sub>는 출발원료에 포함된 1% 정도를 제외한 나머지 18.5%가, Na<sub>2</sub>O는 대부분이 TiCl<sub>4</sub>를 합성할 때 반응기구로 사용한 quartz tube와 염소가스가 반응하여 생성된 불순물이었다. 그 외에 K<sub>2</sub>O, V<sub>2</sub>O<sub>5</sub>, Al<sub>2</sub>O<sub>3</sub> 등은 TiO<sub>2</sub> 원료, 염소가스, carbon black 등의 출발원료에 함유된 불순물이라 사료된다. 이와 같이 많은 불순물의 생성은 Y. Suyama 등의 합성과정에서도 보고되었는데 본 실험에서도 거의 비슷한 결과를 나타내었다.<sup>12)</sup>

고온분리 · 응축 및 저온분별증류 후 TiO<sub>2</sub>의 순도는 약 97.2%이고, 불순물은 Na<sub>2</sub>O, V<sub>2</sub>O<sub>5</sub>, SiO<sub>2</sub> 순으로 많았는데, Na<sub>2</sub>O는 출발원료에 거의 포함되지 않았던 성분이었다. 앞의 염소화 반응 후 비교해보면 SiO<sub>2</sub>와 K<sub>2</sub>O는 대부분이, Al<sub>2</sub>O<sub>3</sub>는 일부분이 제거되었으나 V<sub>2</sub>O<sub>5</sub>와 Na<sub>2</sub>O는 거의 제거되지 않은 것으로 나타났다. 불순물제거는 TiCl<sub>4</sub>를 200°C 이상에서 분리 · 응축하면 TiCl<sub>4</sub>의 비등점 136.4°C 보다 높은 염화불순물인 KCl (1500°C)이 제거되고, 2차로 TiCl<sub>4</sub>의 비등점보다 약간 높게 140°C로 분리 · 응축하면 AlCl<sub>3</sub>(182.7°C)가 제거되었으며, 3차로 TiCl<sub>4</sub>의 비등점보다 약간 낮은 130°C(Fig. 1)의<sup>7)</sup>가 대부분 제거되었다.<sup>13)</sup>

TiCl<sub>4</sub>와 비등점 차이가 큰 AlCl<sub>3</sub>, KCl, SiCl<sub>4</sub>, PCl<sub>3</sub>는 쉽게 제거되나 비등점이 비슷한 VOCl<sub>3</sub>는 비등점 차이를 이용하여 제거한다는 것은 어려우므로 첨가물을 첨가하여 염화물 자체가 갖고 있는 비등점의 온도를 변화시키고자 본 연구에서는 광물유를 사용하였다. 염화물 제거를 위한 첨가제로는 일반적으로 H<sub>2</sub>S, 광물유, liquid parapin 및 식물유등이 있는데 그 중에서 가장 널리 이용되고 있는 것은 H<sub>2</sub>S이다. 그러나 최근 환경이나 경제성을 이유로 H<sub>2</sub>S에서 광물유로 대체되고 있으므로 본 연구에서는 광물유를 사용하여 V 염화불을 0.785%에서 0.30%로 상당량 감소시켰다. 이때 광물유는 다른 염화불순물의 제거에는 그다지 작용하지 않는 것으로 나타났다. 이때 반응 기구는 정확히 알려져 있지 않지만 VOCl<sub>3</sub>와 광물유가 VOCl<sub>3</sub>-광물유 complex 즉 광물유가 carbonize되어 slurry 상태로 되면 TiCl<sub>4</sub>와 섞이지 않아 TiCl<sub>4</sub>와 복합 complex와의 비등점 차이로 증발 분리 제거될 수 있었던 것으로 판단된다.<sup>11)</sup>

다음으로 고온분리 · 응축, 분별증류 및 광물유 처리 과정에서 제거되지 않은 Na, Si등의 불순물의 제거와 입자의 응집을 제어하고자 유기용제 처리한 결과 Si는 쉽게 제거되었고, Na는 일부만, K와 Al은 그다지 제거되지 못하였다. 위와같이 유기용제 처리에 의한 불순물제거는 용제간에 큰 차이는 없으나 SiO<sub>2</sub>, V<sub>2</sub>O<sub>5</sub> 등은 아세톤, 메탄올, 에탄올에, Al<sub>2</sub>O<sub>3</sub>는 이소프로판에, Na<sub>2</sub>O는 메탄올, 이소프로판을 사용하였을 때 불순물 제거효과가 더 있었음을 나타내었다. 유기용제 처리에 의한 불순물 제거는 부착산과 그 산중에 용해되어 있던 금속불순물이 분산되어 제거되는 것이라고 보여지나 그 기구는 연구된 바 없어 더 많은 연구가 필요하다고 사료된다.

그런데 고온비등점을 갖고 있는 Na<sub>2</sub>O는 KCl(1500°C)과 비교해서 200°C 분리 · 응축과정에서 분리 · 응축되어 제거되지 않았고, 광물유 처리과정에서도 제거되지 않았다. 그래서 ICP 분석시 하소된 TiO<sub>2</sub> 분말을 산처리하여 용액화 하지 않고, 하소된 TiO<sub>2</sub> 분말 자체 성분양을 알 수 있는 분석방법인 X-선회절형광분석을 행하고 그 결과를 Table 2에 나타내었다. Table 1과 2에 나타낸 성분을 비교해보면 Na<sub>2</sub>O는 ICP분석을 행하였을 때는 0.38~0.51%였으나,

**Table 2.** Component Analysis Result after Separation Condensation, Fractional Distillation and Treatment of Organic Solvent (isopropanol) by XRF

$\text{TiO}_2$	Impurities (w/o)									
	$\text{V}_2\text{O}_5$	$\text{P}_2\text{O}_5$	Cl	$\text{ZnO}$	$\text{SnO}_2$	$\text{PbO}$	$\text{Na}_2\text{O}$	$\text{SiO}_2$	$\text{Al}_2\text{O}_3$	$\text{CaO}$
99.57	0.15	0.003	0.17	0.01	0.005	0.039	trace	trace	trace	0.022

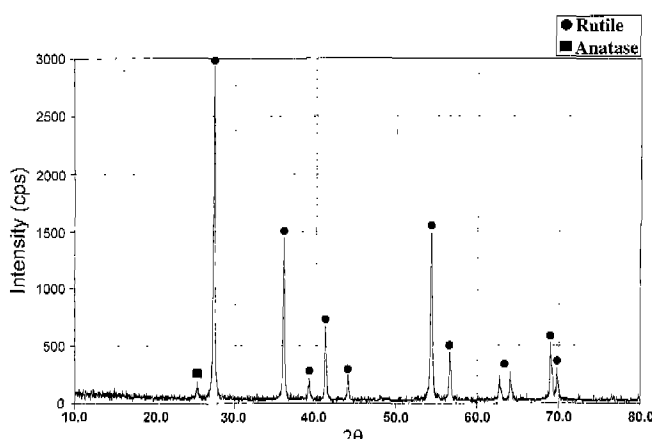
XRF로 분석하였을 때는 거의 나타나지 않았다. 이와같이 ICP 분석에서는 많은 양의  $\text{Na}_2\text{O}$ 가 나타났으나 XRF에서는 미량 나타난것은 염소화반응에서 생성된  $\text{NaCl}$ 은 200°C에서의 분리·응축과정에서 대부분 제거되었으나, ICP로 순도를 분석했을 때의  $\text{Na}_2\text{O}$ 는 ICP를 분석하기 위해  $\text{TiO}_2$ 를 용해할 때 사용된 유리기구와 염화물등이 반응하여 용출되었기 때문이다.

한편, 전자재료 원료로서 가장 문제시되는 Cl 이온을 검출하기 위해 XRF로 분석을 행한 결과 ICP로 분석했을 때 없었던 Cl 이온이 0.17% 검출되었다. 이는 ICP 분석과 XRF 분석상의 차이이며, 또한 XRF로 분석한 경우에 ICP로 분석 할 때 보다  $\text{V}_2\text{O}_5$ 는 오히려 증가하였고  $\text{P}_2\text{O}_5$ ,  $\text{ZnO}$ ,  $\text{SnO}_2$ ,  $\text{PbO}$ ,  $\text{CaO}$ 등이 미량 검출되었는데, 이와 같은 결과는 일부 분석기기상 error이거나, 검출할 수 없었던 성분이 검출되었기 때문이다.

따라서,  $\text{TiO}_2$  저순도원료를  $\text{TiCl}_4$ 로 하여 고순도화할 때는 염화물 합성장치의 재질 선택에, 고순도원료의 미량성분 분석에서는 분석방법과 사용기구를 주의해서 선택하여야 한다.

### 3.3. 결정상

생성된 염화물을 고순도화 시킨후 염화물을 가수분해하여 침전한 후 여과·세척하여 결정상을 조사하고자 600°C에서 3시간 하소하여 X-선회절분석을 행하고 그 결과를 Fig. 2에 나타내었다. 그 결과 하소한 분말의 결정상은 저온결정형인 anatase가 일부 존재하고, 대부분이 고온결정형인 rutile로 전

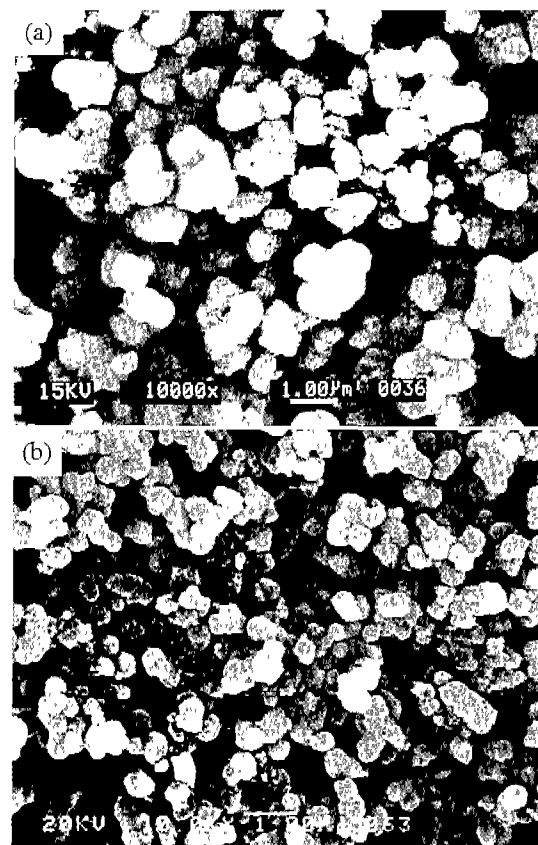


**Fig. 2.** X-ray diffraction pattern of powder calcined at 600°C for 3 hr.

이되어 있었으나, 결정구조는 순수한  $\text{TiO}_2$  결정으로 존재하였다. 통상적으로  $\text{TiO}_2$  결정구조는 anatase에서 rutile로 전이되는 온도가 약 800°C로 알려져 있으나 본 연구 결과와 200°C 차이를 나타낸 것은 핵생성에너지 barrier가 낮고 성장된 입자크기가 submicron 이하로 작기 때문인 것으로 사료된다.

### 3.4. 입자의 크기

물로 세척, 여과한 입자와 유기용제 처리한 입자상태를 비교하고자 주사전자현미경으로 관찰하고 그 결과를 Fig. 3에 나타내었다. (a)의 경우는 유기용제 처리하지 않은 경우인데, 입자는 상당히 응집현상이 나타나 있고, 또한 입자크기가 크게 나타났으며, 유기용제처리한 (b)의 경우는 (a)의 경우 보다 입자크기가 0.5 μm 이하로 작고, 응집이 적게 나타나 있었다.



**Fig. 3.** SEM photographs of  $\text{TiO}_2$  powder (a) before/(b) after treatment organic solvent.

#### 4. 결 론

고순도  $TiO_2$  분말을 제조하기 위해 황산법으로 제조된 저순도  $TiO_2$ 를 원료로하여 염소화법으로  $TiCl_4$ 를 제조하고,  $TiCl_4$ 에 함유된 불순물을 분리 · 응축, 분별종류, 광물유 및 유기용제 처리한 본 연구법위에서 다음과 같은 결론을 얻었다.

1. 비등점 차이만을 이용한 경우 비등점이  $TiCl_4$  보다 낮거나 높은 염화불순들은 대부분 제거할 수 있으나, 비등점이 비슷한 V 염화물의 경우는 제거할 수 없었다. V 염화물은 광물유를 첨가하여 비등점을 변화시킴으로서 제거가 가능하였다.
2.  $TiCl_4$ 를 열가수분해한 후  $NH_4OH$ 로 침전시켜 유기용제로 세척한 경우 금속불순물등이 제거되었고, 또한 입자간의 응집이 적어져 입자크기도 작아졌으며 결정구조의 전이온도도 낮아졌다.

#### REFERENCES

1. 吉住素彦, “ $TiO_2$ の機能性微粉末,” セラミツクス, 21(4), 318~325 (1986).
2. J. K. Tien and J. F. Elliott, “Metallurgical Treatises-The Production of Titanium, Zirconium and Hafnium,” Met. Soc., AIME. New York, 171-190 (1981).
3. W. E. Dunn, “High Temperature Chlorination of Titanium Bearing Minerals : Part III,” Metallurgical Transactions B, 10B(6), 293~294 (1979).
4. K. Kiss, J. Madger, M. S. Vukasovich and R. J. Lockhart, “Ferroelectric of Ultrafine Particle Size : I, Synthesis of Titanate Powders of Ultrafine Particle Size,” *J. Am. Ceram. Soc.*, 49(6), 291-294 (1996).
5. R. Manocha, “Studies on Chlorination of Ilmenite,” *Trans. Ind. Ins. Met.*, 7, 95~104 (1953).
6. W. E. Dunn, “High Temperature Chlorination of Titanium Bearing Minerals : Part III,” *Metallurgical Transactions B*, 10B(6), 293~294 (1979).
7. G. J. Dooley, “Titanium Production : Ilmenite vs Rutile,” *J. Metals. March*, 8~16 (1975).
8. Hokominam : T. Matsura and K. Iwai, “Ultra-Highly Active Titanium Oxide Photocatalyst Prepared by Hydrothermal Crystallization from Titanium Alkoxide in Organic Solvent,” *Chem. letters*, 693~694 (1995).
9. H. Shimakawa, F. Sakamoto and Y. Tsuchida, “Ultrafine  $TiO_2$  Powder by Vapor-Phase Hydrolysis of Titanium Tetraisopropoxide,” *Ceram. Powder Soc.*, IV, 115 ~ 120 (1991).
10. 박호영, 임석중, “국내 티탄 자철광에서 티탄 소재 연구개발,” 한국 동력자원 연구소 연구보고 (1986).
11. F. E. Brown, “Hypovanadous Oxides and Vanadium Oxytrichloride,” Inorganic Synthesis, I, McGraw-Hill Book Co. Inc., New York, 106~108 (1939).
12. Y. Suyama and A. Kato, “ $TiO_2$  Produced by Vapor-Phase Oxygenolysis of  $TiCl_4$ ,” *J. Am. Ceram. Soc.*, 59(3-4), 146~149 (1976).
13. R. Powell, “Titanium Dioxide and Titanium Tetrachloride,” Noyes Development Corporation, 89 (1968).